

Подход за защита на електронни документи срещу несанкциониран достъп

Георги Върбанов, Гео Кунев

Approach to protection of electronic documents against unauthorized access: In this article we present a modified algorithm for protection of electronic documents using watermarks. The idea is to assign to each document a unique identification number of the server, specifying users' rights for downloading. The proposed method, using watermarking allows certain corrections of errors in the watermark detection as well as enhanced opportunities for building a message with a greater length and low rates of modulation

Key words: Watermarks, Error Correction Code.

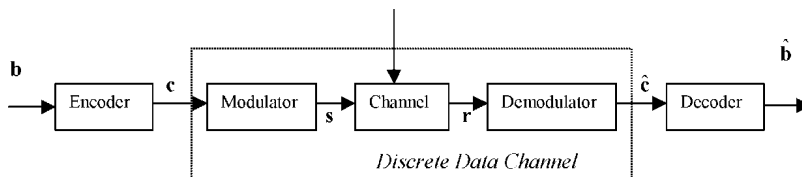
ВЪВЕДЕНИЕ

В статията предлагаме модифициран алгоритъм за защита на електронни документи използвайки воден знак. Основната идея е присвояването на уникален номер на всеки документ, които се изтегля от сървър делегираш правата на отделните потребители за изтегляне на съответния документ. Предложения метод използва за влагането на воден знак един метод познат ни от комуникациите с възможност на корекция на грешки при извличането и възстановяването на водния знак в противовес на враждане на по-дълго съобщение в документа. Използват се възможностите на кодовете с работещи с разреждени матрици от данни, които постигат много добри резултати(LDPC).

Тези документи са налични само в pdf формат. Всички известни документи са представени или преобразувани в този формат(doc,txt, jpg, png, bmp и други). Няма ограничения в използването на криптиране за по-добра сигурност. Враждането на водния знак се използва за менажмент на изтеглянето на електронните документи от сървъра.

ИЗЛОЖЕНИЕ

На фигура.1 е показана блоковата схема на примерна комуникационна система работеща с корекция на грешките при предаване. Подобна схема се използва за влагане на воден знак. В сравнение със стандартната схема за влагане на воден знак има 2 нови блока-кодер и декодер. Съответно в предавателната(маркиращата) и декодиращата(приемната страна) Предавателя добавя битове за корекция на грешки, а декодера проверява и редуцира такива ако са възникнали при извличането на водния знак.



Фиг. 1. Комуникационна система с корекция на грешки

Двоичната поредица е маркиращото съобщение. То преминава през целия предавателен и приемен тракт, след като се кодира в двоична последователност C . Вектора на C е записан в изображението използващ някои от алгоритмите за поставяне на воден знак чрез модулиране на сигнали, които симулират преминаване на сигнал през комуникационен канал.

Симулацията на канално разпространение се полага от това, че изображението може да бъде подложено на най-различни атаки за разрушаване на вградения воден

знак. Полученият шум в декодера се дължи именно на тези атаки. В резултат се получава възстановена последователност R. Има 2 възможни решения на демодулатора твърдо и меко(софт) .При първото се получава 0 и 1 на изхода, а при второто се получават по няколко нива за 0 и 1 съответно. В статията се използва по гъвкавото решение [3][4][7].

Това се постига чрез квантоване на демодулирания сигнал на 8 нива. За алгоритъмът за кодиране и декодиране за решение на задачата е използван намиращ-широко приложение в JSM технологиите за разпространение на слаби сигнали. Блоквата схема е показана на фигура 4.

Алгоритъм за влагане на воден знак

Вмъкване на воден знак

Стъпка 1 генериране на двоична последователност b с дължина T_k .

Стъпка 2 това е кодирането с добавяне на битове за проверка b с дължина върху k -брои блокове T_k (n,k) чрез LDPC. Кодираната последователност е C с дължина T_n .

Стъпка 3 повторение на операцията всеки кодиран бит се повтаря ch пъти C_C дължина генерирана $T_n * ch = T_C$.

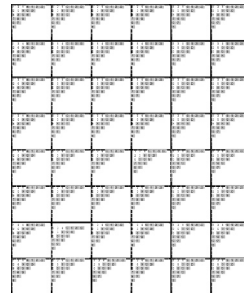
Стъпка 4 модулация на получената последователност в спектъра на генерира се $T_k \pm 1$ псевдо случайна последователност pc с дължина T_C използваща ключ K_i умножен по B_C с $T_k Pc$ за получаване на водния знак W_C (това представляват персоналният ключ IDs и данни).

Стъпка 5 реализация на DWT до 2 ниво и избор на LL потдомейн за маркирането фигура 3.

Стъпка 6 генериране на маска за влагане на водния знак W_C чрез използване на ключ K_2 в резултат на което се получава маска W_m .

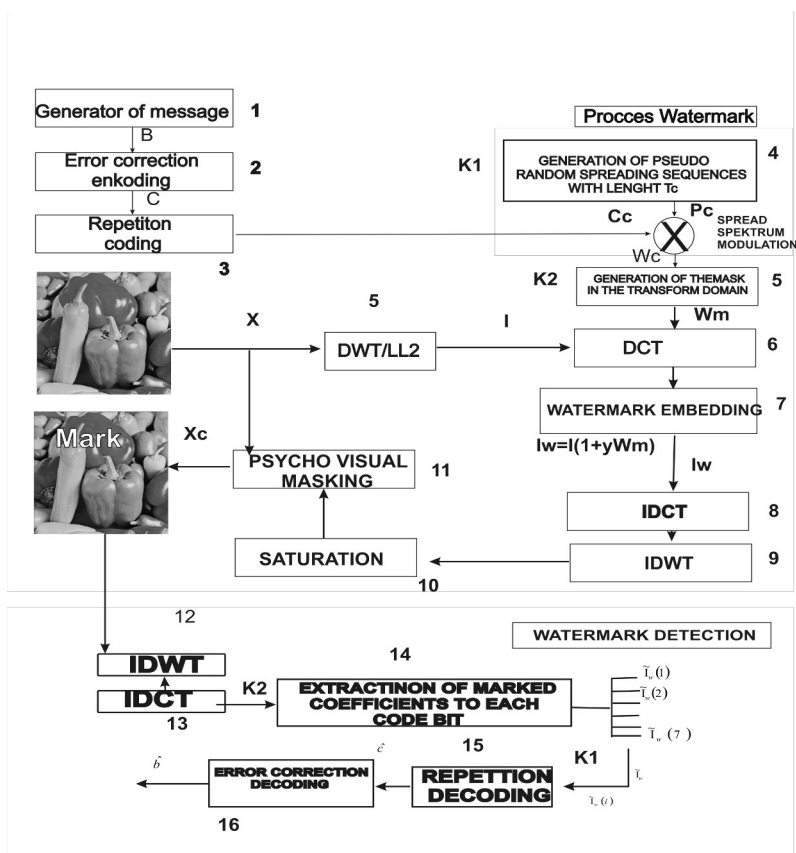
1	3	4	10	11	21	23	
2	5	9	12	20			
6	8	13	19				
7	14	18					
15	17						
16							

Фиг. 2. Маркирани коефициенти в блок от 8x8 в регион от DCT



Фиг. 3. $N \times M$ блока с размер 8x8 в DCT област

Маркират се по 16 коефициента(в тях са включени и битовите за проверка) от всеки блок избрани псевдослучайно намиращи се в нискочестотния потдиапазон в зиг заг. Всеки от посочените коефициентите се формира, като разлика формирана, както при Koch and Zhao[9]. Във всеки блок от 8x8 се селектират 16 честотни коефициенти и се разполагат върху целия домейн LL от wavelet разпределението. На фигура 3 е показано разпределението по блокове върху целия LL потдомейн по псевдо-случаен принцип.



Фиг. 4. Блокова схема на алгоритъта на влагане на воден знак

Стъпка 7 вграждане на водния знак W_m в трансформираната област I . За вграждането на водния знак W_m използваме добавящ алгоритъм:

$$I_m = I(1 + \gamma W_m), |\gamma| < 1 \quad (1)$$

Стойността на γ се избира с компромисен вариант между стабилност на водния знак и допустими изкривявания на изобразението. По-високи стойности подобряват здравината на знака, но увеличават внесения шум.

Стъпка 8 е инверсно преобразуване в честотната област $IDCT$.

Стъпка 9 е обратно вавалет преобразуване $IDWT$.

Стъпка 10 е елиминиране на насищането за стойности по-големи от 255 се присвоява максималната 255 и за по-малки от 0 се присвоява 0.

Стъпка 11 е отчитане на влиянието на психовизуалните особености на човешкото зрение чрез измерване и оценка на качеството на маскирането в пространственото разпространение на сигнала, т.е. можем да си представим, че маскираното изображение X_w преминава през психовизуална система "Human Visual System" (HVS).

Механизъм за откриване на водния знак

Кодовите работещи с разредени матрици "Low Density Parity Check" (LDPC) [4][5] са линейни кодове по отношение на проверката за четност на вражданите матрици от данни H , които имат много малко значещи елементи равни на 1, като повечето са 0. $A(d, p, y)$ матрица с проверка на четност и има p елемента еквивалентни на 1 във всяка колона и във всеки един ред, където y е поредния номер на реда и d е неговата дължина реципрочна на колоните е (dp/y) и стойността на кода е $(y-p)/y$.

Извличане на маркираните коефициенти

Има различни алгоритми за извличане на водния знак. В случая се придържаме към схемата разработена от Coch and Zhao.[2][9]

Алгоритъма работи с псевдослучайно избрани коефициенти в 8x8 DCT блокове, в които се селектират 2 случайни коефициента в средночестотния диапазон.

С f_b е означен избрания случаен блок 8x8 DCT, а $f_b(m_1, n_1)$, $f_b(m_2, n_2)$ са означени селектираните коефициенти:

$$A_b = |f_b(m_1, n_1)| - |f_b(m_2, n_2)| \quad (2)$$

За враждането на един бит от поредицата на водния знак двойката на селектираните битове се модифицира, като дистанция:

$$\Delta_H = \left\{ \begin{array}{l} \geq q \text{ ако } w=1 \\ \leq -q \text{ ако } w=0 \end{array} \right\} \quad (3)$$

Правото 8x8 точково DCT преобразуване е дефинирано в [3],[8], където q е параметър контролиращ силата на влагане съответно извличане на съответния бит и обратно косинусово DCT(IDCT) 8x8 точково преобразование е определено в [3][9]:

$$I(u, v) = \frac{\zeta(u)}{2} \cdot \frac{\zeta(v)}{2} \sum_{k=0}^7 \sum_{l=0}^7 X(k, l) \cdot \cos\left(\frac{(2k+1)u\pi}{16}\right) \cdot \cos\left(\frac{(2l+1)v\pi}{16}\right) \quad (4)$$

А инверсното 8x8 DCT(IDCT) е определено като:

$$X(k, l) = \sum_{u=0}^7 \sum_{v=0}^7 \frac{\zeta(u)}{2} \cdot \frac{\zeta(v)}{2} I(u, v) \cdot \cos\left(\frac{(2k+1)u\pi}{16}\right) \cdot \cos\left(\frac{(2l+1)v\pi}{16}\right) \quad (5)$$

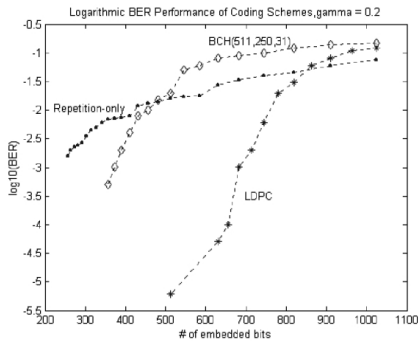
$$\text{където } k, l, u, v \in \{0, 1, 2, 3, 4, 5, 6, 7\}; u \zeta(u) = \begin{cases} \frac{1}{\sqrt{2}} & \text{for } u=0 \\ 1 & \text{for } u>0 \end{cases}, \zeta(v) = \begin{cases} \frac{1}{\sqrt{2}} & \text{for } v=0 \\ 1 & \text{for } v>0 \end{cases} \quad (6)$$

Това установява дължината на вектора ch , като $\tilde{I}_w(i)$, където i е между 1 и T_n .

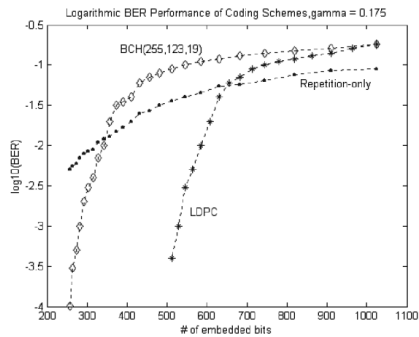
$$\tilde{I}_w = [\tilde{I}_w(1), \tilde{I}_w(2), \dots, \tilde{I}_w(T_n)] \text{ where } \tilde{I}_w(i) = [\tilde{I}_w^1(i), \tilde{I}_w^2(i), \dots, \tilde{I}_w^{ch}(i)] \quad (7)$$

ЗАКЛЮЧЕНИЕ

Експерименталните резултати са показани на фигури 5 и 6 и те са валидни само за RAW изображение без да взаимодейства с друг алгоритъм за маркиране. За реализация е използвана програмата Matlab 7.



Фиг. 5.



Фиг. 6.

Експериментите са проведени върху познатите ни като стандартни за тестване изображения на Lena, Varbon, Poppers и други

Не се симулира правенето на анализ на пакетите на принт сървъра. Целта е да се постигнат добри резултати при извличането на водния знак. Вижда се, че се получават добри резултати около 500 бита дължина на вградената последователност и се постига корекция до 2 % на грешката. Съответно BER е ~0.2., което е близо до доказаното от Shannon ограничение [1][6].

В таблица 1 са показани резултатите от внесеното съотношение сигнал шум в изображението от вложени знак и неговото съотношение на шум "Peak signal to noise ratio" (PSNR) and "Watermark to document ratio" (WDR)

Таблица 1. PSNR and WDR Results

γ	PSNR (dB)	WDR (dB)
0.2	41.65	-36.74
0.225	40.65	-35.74
0.25	39.75	-34.84

Теоретичната грешка BER е еквивалентна на:

$$Q(\sqrt{SNR}) = 1/2 \operatorname{erfc}(\sqrt{SNR}/2) \quad (8)$$

ЛИТЕРАТУРА

- [1] Balado F., J. R. Hernandez and F. Perez, Approaching the capacity limit in image watermarking, Signal Processing vol.81 number 6 June (2001), pp. 1215-1238
- [2] Cox, J., M. L. Miller and J. A. Bloom, Digital Watermarking, Morgan Kaufman Publishers, ISBN 1-55860-714-5, 2002
- [3] Gallager, R. G., "Low Density Parity Check Codes", IRE Trans. Information Theory, vol. IT-8, pp. 21-28, Jan 1962
- [4] Darbon, J., B. Sankur and H. Maitre, " Error Correcting Code Performance For Watermark Protection, Security and Watermarking of Multimedia Contents III, SPIE, vol. 4314, San Jose (CA,USA), 20-25 Jan 2001
- [5] MacKay, D J.C, "Good Error-Correcting Codes Based on Very Sparse Matrices", IEEE Trans. Information Theory, vol. 45, pp. 399-431, March 1999.
- [6] Swanson, M.D.B.Zhu and A.H.Tewfik, "Transparent robust image watermarking", SPIE Conf. on Visual Communications and Image Proc., vol.3, pages 211-214, ISBN: 0-7803-3259-8, 16-19 Sep 1996.

[7] Zinger, S., Z. Jin, H. Maitre and B. Sankur, "Optimization of Watermarking Performances Using Error Correcting Codes and Repetition", CMS'2001: Communications and Multimedia Security, May 2001, 229-240, Darmsadt, Germany.

[8] Wilson, S. G., Digital Modulation and Coding, Prentice Hall 1996, ISBN 0-13-210071-1.

[9] Zhao, J. and E. Koch, "Embedding Robust Labels into Images for Copyright Protection", Proc. Of Intellectual Congress on Intellectual Property Rights for Specialized Information Knowledge and New Technologies, , pp.242-251, Aug. 21-25, 1995., Vienna, Austria

За контакти:

гл. ас. Георги Б. Върбанов, Катедра "Компютърна наука и технологии", Технически университет "Варна, тел.: 052-383614, e-mail: gvarbanov@gmail.com,

гл. ас. д-р Гео В. Кунев Катедра "Компютърна наука и технологии" тел:052 383638 geo_qnew@hotmail.com

Докладът е рецензиран.